

# Análise da Dinâmica e Estratégia de Controle via Realimentação Linearizante para um Robô Autoequilibrado de Duas Rodas

Luan Diego Ramalho Arantes  
*Mestrado em Engenharia de Automação e Sistemas*  
*Sistemas Não Lineares*  
Florianópolis, Brasil  
luandrarantes@gmail.com

**Resumo**—Robôs autoequilibrados de duas rodas são sistemas não lineares e naturalmente instáveis que demandam técnicas avançadas de controle para garantir sua estabilidade e rastreamento de trajetórias de forma eficaz. No contexto deste estudo, a dinâmica do robô foi cuidadosamente analisada para entender o comportamento de seus pontos de equilíbrio. Com base nessa análise, a modelagem e o controle do robô autoequilibrado foram detalhados. Utilizando a abordagem de linearização por realimentação, o sistema foi desacoplado e foram derivados subsistemas que foram posteriormente controlados. O principal objetivo era desenvolver controladores que permitissem um rastreamento eficaz de trajetórias, considerando trajetórias em formato de quadrado e círculo como estudos de caso. Através da técnica de regulador quadrático linear, os ganhos dos controladores foram otimizados para garantir um rastreamento preciso e uma resposta rápida. Os resultados simulados, comparando as trajetórias desejadas com as obtidas, confirmaram a eficácia dos controladores projetados.

**Index Terms**—Linearização por realimentação, Rastreamento de trajetória, Robô autoequilibrado

## I. INTRODUÇÃO

O controle por realimentação, reconhecido como parte fundamental e intrínseca a uma gama de situações e a base da engenharia de controle de sistemas, este conceito é este presente em inúmeros sistemas dinâmicos, desde o equilíbrio e a locomoção de bípedes até a aterrissagem autônoma de foguetes. Embora os métodos de controle tradicionais sejam adequados para sistemas simples, sistemas mais complexos, como robôs com múltiplos eixos de movimento, plantas químicas complexas e redes elétricas avançadas, exigem abordagens mais sofisticadas. Estes sistemas apresentam desafios devido às suas complexas interações e aos impactos que um parâmetro pode ter em outro.

Os robôs autoequilibrados representam uma classe de sistemas complexos que operam sob o princípio de manter o equilíbrio enquanto realizam movimentos em superfícies variadas. Estes robôs, frequentemente equipados com duas rodas, empregam técnicas avançadas de controle para permanecerem eretos e navegarem em ambientes complexos. O estudo de tais sistemas é crucial, não apenas devido à sua relevância na pesquisa robótica atual, mas também devido às

suas potenciais aplicações em áreas como transporte pessoal, logística e assistência à mobilidade.

Um dos desafios centrais na operação destes robôs é a necessidade de controladores precisos e robustos. O controlador deve garantir não apenas que o robô se mantenha equilibrado, mas também que seja capaz de seguir trajetórias predeterminadas em diferentes cenários. O seguimento de trajetória é uma habilidade vital para muitas aplicações práticas, permitindo que o robô execute tarefas de maneira autônoma e eficiente.

Neste contexto, o presente trabalho visa desenvolver um controlador para um robô autoequilibrado de duas rodas, focando no seguimento de trajetória. O estudo aborda a modelagem do sistema, o desenvolvimento do controlador e a simulação de seu desempenho em duas diferentes trajetórias. As metodologias e resultados aqui apresentados oferecem uma perspectiva técnica e detalhada sobre os desafios e soluções associados ao controle de robôs autoequilibrados.

## II. DESENVOLVIMENTO

Nesta seção, é abordada a modelagem detalhada do robô autoequilibrado, proporcionando uma base sólida para compreensão do sistema e seu comportamento. A representação em espaço de estados é utilizada como principal ferramenta para capturar a dinâmica intrínseca do robô. Em sequência, é realizado um estudo aprofundado da dinâmica do sistema, explorando os pontos de equilíbrio e o comportamento sob variações de parâmetros. Concluindo esta seção, o projeto do controlador é elaborado com base nas informações coletadas, visando um desempenho otimizado no seguimento de trajetórias.

### A. Modelagem do Sistema

Um robô autoequilibrado é caracterizado por duas rodas acopladas a uma estrutura vertical, tendo seu comportamento análogo a um pêndulo invertido fixado a um carrinho. Dado o interesse em modelar o movimento do robô em duas dimensões ( $x$  e  $y$ ), dois ângulos se tornam fundamentais para a descrição do sistema: o ângulo de inclinação  $\theta$ , que representa o desvio da estrutura vertical em relação ao eixo  $z$ , e o ângulo de guinada  $\alpha$ , que descreve a rotação do robô em torno do

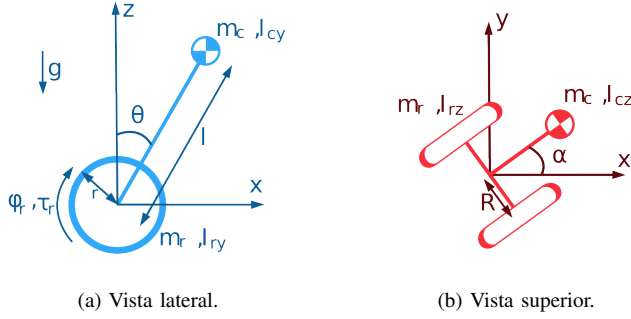


Figura 1. Diagramas de corpo livre.

eixo z. A Figura 1a apresenta o diagrama de corpo livre do robô quando visto de lado (eixos x e z), enquanto a Figura 1b fornece uma perspectiva superior, mostrando o diagrama de corpo livre em relação aos eixos x e y.

As variáveis representadas nos diagramas têm os seguintes significados:

- $m_c$ : Massa do centro de massa do robô.
- $m_r$ : Massa da roda.
- $I_{cy}$  e  $I_{cz}$ : Momentos de inércia do corpo em torno dos eixos y e z, respectivamente.
- $I_{ry}$  e  $I_{rz}$ : Momentos de inércia da roda em torno dos eixos y e z, respectivamente.
- $\varphi_r$ : Ângulo de rotação da roda.
- $\tau_r$ : Torque aplicado à roda.
- $l$ : Distância entre o centro da roda e o centro de massa do robô.
- $r$ : Raio da roda.
- $R$ : Distância entre o centro do eixo do robô e a roda.
- $g$ : Aceleração devido à gravidade.

A representação em espaço de estados para o sistema pode ser obtida utilizando as equações de Euler-Lagrange. Este método aproveita a análise da energia cinética e potencial do sistema para estabelecer as equações de movimento. A equação de Euler-Lagrange é dada por:

$$\frac{d}{dt} \left( \frac{\partial L}{\partial \dot{q}_i} \right) - \frac{\partial L}{\partial q_i} = Q_i \quad (1)$$

Onde  $q_i$  representa as coordenadas generalizadas e  $Q_i$  são as forças não conservativas. O Lagrangiano  $L$  é definido como a diferença entre a energia cinética  $T$  e a energia potencial  $U$ :

$$L = T - U \quad (2)$$

É importante destacar que neste sistema ocorrem perdas devido a fatores não ideais, como o atrito. A função de dissipação de Rayleigh é uma ferramenta que pode ser utilizada para incluir estas perdas nas equações de movimento. Esta função representa a perda de energia associada ao atrito proporcional à velocidade, neste caso, do atrito entre a roda e o solo. A expressão para essa função é:

$$\mathcal{F} = \frac{b_r}{2} (\dot{\varphi}_{r1}^2 + \dot{\varphi}_{r2}^2) \quad (3)$$

Onde  $b_r$  é o coeficiente de atrito viscoso e  $\dot{\varphi}_{r1}$  e  $\dot{\varphi}_{r2}$  são as velocidades angulares das rodas.

A equação de Euler-Lagrange modificada, que leva em conta a dissipação causada pelo atrito, torna-se:

$$\frac{d}{dt} \left( \frac{\partial L}{\partial \dot{q}_i} \right) - \frac{\partial L}{\partial q_i} = Q_i - \frac{\partial \mathcal{F}}{\partial \dot{q}_i} \quad (4)$$

O robô pode ser conceitualmente dividido em duas partes principais: o centro de massa e as rodas. As energias associadas a cada uma dessas partes são descritas por:

**Centro de Massa:**

$$T_c = \frac{m_c v_c^2}{2} + \frac{I_{cy} \dot{\theta}^2}{2} + \frac{I_{cz} \dot{\alpha}^2}{2} \quad (5)$$

$$U_c = m_c g l \cos(\theta) \quad (6)$$

**Rodas:**

$$T_r = \frac{m_r (v_{r1}^2 + v_{r2}^2)}{2} + \frac{I_{ry} (\dot{\varphi}_{r1}^2 + \dot{\varphi}_{r2}^2)}{2} + I_{rz} \dot{\alpha}^2 \quad (7)$$

$$U_r = 0 \quad (8)$$

Onde  $v_c, v_{r1}$  e  $v_{r2}$  são as velocidades totais do centro de massa, da roda 1 e da roda 2 nos eixos x, y e z.

Considerando que não existe deslizamento, a relação entre a velocidade linear  $v_{ri}$  e a velocidade angular  $\dot{\varphi}_i$  das rodas é dada por:

$$v_{ri} = r \dot{\varphi}_i \quad \text{com } i = 1, 2 \quad (9)$$

A velocidade do corpo do robô  $v_c$  pode ser reescrita em função da velocidade horizontal do corpo  $v_{xy}$  e da velocidade vertical do corpo  $\dot{z}_c$ :

$$v_c = \sqrt{v_{xy}^2 + \dot{z}_c^2} \quad (10)$$

Como o corpo está preso à roda logo:

$$v_{xy} = \frac{v_{r1} + v_{r2}}{2} + l \dot{\theta} \cos \theta \quad (11)$$

$$\dot{z}_c = -l \dot{\theta} \sin \theta \quad (12)$$

Por se tratar de um robô com rotação diferencial:

$$\dot{\alpha} = \frac{v_{r2} - v_{r1}}{2R} \quad (13)$$

Com base em (2) e nas equações de (5) a (13):

$$L = a \dot{\varphi}_r^2 + b \dot{\varphi}_{rm}^2 + \frac{c}{2} (\dot{\varphi}_{r1}^2 + \dot{\varphi}_{r2}^2) + d \dot{\varphi}_r \dot{\theta} \cos \theta + \frac{e}{2} \dot{\theta}^2 - m_c g l \cos \theta \quad (14)$$

Com:

$$\begin{aligned} \varphi_r &= \varphi_{r1} + \varphi_{r2} & \varphi_{rm} &= \varphi_{r2} - \varphi_{r1} \\ a &= \frac{m_c r^2}{4} & b &= \frac{r^2}{2R^2} \left( \frac{I_{cz}}{2} + I_{rz} \right) \\ c &= m_r r^2 + I_{ry} & d &= \frac{m_c r l}{2} \\ e &= 2m_c l^2 + I_{cy} & f &= m_c g l \end{aligned}$$

As coordenadas generalizadas  $q_i$  e suas respectivas forças  $Q_i$  para o sistema são definidas como:

$$q_i : \varphi_{r1}, \varphi_{r2}, \theta \quad (15)$$

$$Q_i : \tau_{r1}, \tau_{r2}, -(\tau_{r1} + \tau_{r2}) \quad (16)$$

Considerando que as rodas são controlados por motores de corrente contínua, o torque gerado pelas rodas pode ser expresso como:

$$\tau_{ri} = KV_i - B(\dot{\varphi}_{ri} - \dot{\theta}) \quad \text{com } i = 1, 2 \quad (17)$$

Resolvendo a equação (4) para as coordenadas apresentadas em (15), resulta em:

$$\Delta \begin{bmatrix} \ddot{\varphi}_{r1} \\ \ddot{\varphi}_{r2} \\ \ddot{\theta} \end{bmatrix} + \mathbf{A} = \mathbf{B}_u \begin{bmatrix} V_1 \\ V_2 \end{bmatrix} \quad (18)$$

$$\Delta = \begin{bmatrix} a & b & d \cos(\theta) \\ b & a & d \cos(\theta) \\ d \cos(\theta) & d \cos(\theta) & c \end{bmatrix} \quad (19)$$

$$\mathbf{A} = \begin{bmatrix} (br + B)\dot{\varphi}_{r1} - B\dot{\theta} - d \sin(\theta)\dot{\theta}^2 \\ (br + B)\dot{\varphi}_{r2} - B\dot{\theta} - d \sin(\theta)\dot{\theta}^2 \\ 2B\dot{\theta} - B(\dot{\varphi}_{r1} + \dot{\varphi}_{r2}) - e \sin(\theta) \end{bmatrix} \quad (20)$$

$$\mathbf{B}_u = \begin{bmatrix} K & 0 \\ 0 & K \\ -K & -K \end{bmatrix} \quad (21)$$

Resultando no espaço de estados:

$$\dot{\mathbf{x}} = \begin{bmatrix} \mathbf{0} & \mathbf{I} \\ \mathbf{0} & \mathbf{0} \end{bmatrix} \mathbf{x} + \begin{bmatrix} \mathbf{0} & \mathbf{0} \\ \mathbf{0} & \mathbf{\Omega}(\mathbf{x}) \end{bmatrix} + \begin{bmatrix} \mathbf{0} \\ \mathbf{\Psi}(\mathbf{x}) \end{bmatrix} \mathbf{u} \quad (22)$$

Onde:

$$\begin{aligned} \mathbf{x} &= [\varphi_{r1} \quad \varphi_{r2} \quad \theta \quad \dot{\varphi}_{r1} \quad \dot{\varphi}_{r2} \quad \dot{\theta}]^T \\ \mathbf{\Omega}(\mathbf{x}) &= -\Delta^{-1} \mathbf{A} \\ \mathbf{\Psi}(\mathbf{x}) &= \Delta^{-1} \mathbf{B}_u \\ \mathbf{u} &= [V_1 \quad V_2]^T \end{aligned}$$

Os parâmetros físicos do sistema foram determinados a partir de um modelo real, que pode ser visto em [6]. Estes valores foram obtidos combinando técnicas de medição direta com simulações para alcançar aproximações que se assemelham às características reais do objeto de estudo. A Tabela 1 apresenta estes parâmetros:

Par.	Valor	Par.	Valor
$r$	$0.04 \text{ m}$	$R$	$0.18 \text{ m}$
$I_{cz}$	$2.567 \cdot 10^{-3} \text{ kg} \cdot \text{m}^2$	$m_c$	$1.013 \text{ kg}$
$m_r$	$0.07 \text{ kg}$	$I_{ry}$	$7.103 \cdot 10^{-5} \text{ kg} \cdot \text{m}^2$
$I_{rz}$	$4.256 \cdot 10^{-5} \text{ kg} \cdot \text{m}^2$	$l$	$0.09 \text{ m}$
$I_{cy}$	$1.866 \cdot 10^{-2} \text{ kg} \cdot \text{m}^2$	$g$	$9.806 \text{ m/s}^2$
$b_r$	$0.03 \text{ kg} \cdot \text{m}^2/\text{s}$	$B$	$0.05573$
$K$	$0.2109$		

Tabela 1  
PARÂMETROS FÍSICOS DO SISTEMA.

## B. Estudo da Dinâmica do Sistema

Com a equação de movimento do sistema já derivada, o próximo passo consiste em analisar seu comportamento dinâmico. Nesta subseção, focaremos inicialmente na análise dos pontos de equilíbrio do sistema. Posteriormente, estudaremos como o sistema responde às variações na ação de controle e no coeficiente de atrito.

Dado que as equações do sistema são independentes do ângulo da roda e dependem apenas da velocidade da roda, a análise pode se concentrar em situações onde a velocidade da roda não é nula. Resolvendo a equação (18) para condições onde as acelerações  $\ddot{\varphi}_{r1}$ ,  $\ddot{\varphi}_{r2}$ ,  $\ddot{\theta}$  e a velocidade  $\dot{\theta}$  são nulas e com tensões nos motores constantes, obtemos:

$$\dot{\varphi}_{r1} = -\frac{KV_1}{B + b_r} \quad (23)$$

$$\dot{\varphi}_{r2} = -\frac{KV_2}{B + b_r} \quad (24)$$

$$\theta = \arcsin \left( \frac{K}{e} (V_1 + V_2) \left( 1 - \frac{B}{B + b_r} \right) \right) \quad (25)$$

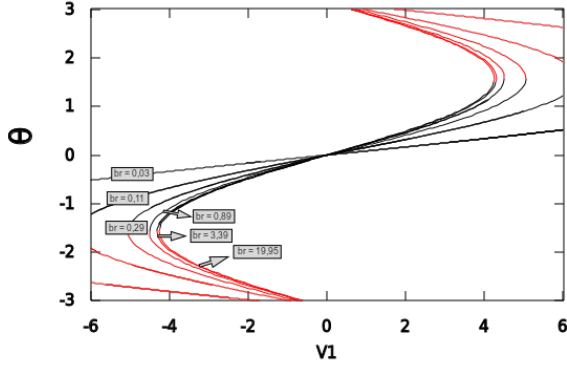
A partir das propriedades da função arco-seno, deduzimos as seguintes possibilidades para os equilíbrios:

- Se  $V_1 + V_2 = 0$ , o sistema possui apenas dois equilíbrios, onde  $\bar{\theta} \in \{0, \pi\}$ .
- Se  $V_1 + V_2 = \pm \frac{e}{K(1 - \frac{B}{B + b_r})}$ , o sistema possui um único equilíbrio em  $\bar{\theta} \in \{\pm \frac{\pi}{2}\}$ .
- Para  $0 < |V_1 + V_2| < \frac{e}{K(1 - \frac{B}{B + b_r})}$ , existem dois equilíbrios para  $\bar{\theta}$  em dois ângulos complementares dependentes de  $V_1 + V_2$ .
- Se  $|V_1 + V_2| > \frac{e}{K(1 - \frac{B}{B + b_r})}$ , o sistema não possui pontos de equilíbrio.

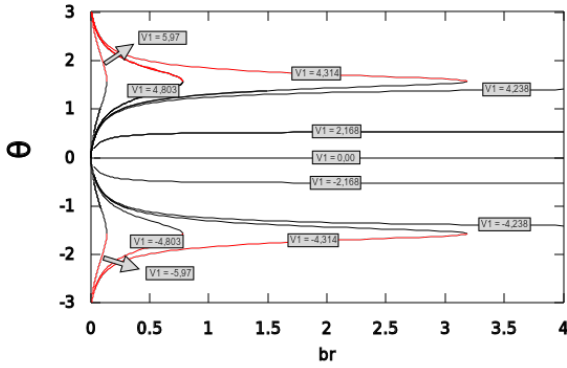
A complexidade do sistema dificulta a análise algébrica da estabilidade dos seus pontos de equilíbrio. No entanto, ao empregar ferramentas computacionais como MATLAB e XPPAUT, conclui-se que os pontos de equilíbrio em  $-\frac{\pi}{2} \leq \bar{\theta} \leq \frac{\pi}{2}$  são estáveis, enquanto os pontos em  $-\frac{\pi}{2} < \bar{\theta} < \frac{\pi}{2}$  são instáveis. É crucial ressaltar que, no contexto real do sistema, ângulos maiores que  $\frac{\pi}{2}$  ou menores que  $-\frac{\pi}{2}$  não são fisicamente possíveis, implicando que todos os pontos de equilíbrios fisicamente possíveis são instáveis.

A fim de aprofundar a compreensão sobre a dinâmica do sistema e como os pontos de equilíbrio são influenciados por determinados parâmetros, foram gerados gráficos de bifurcação utilizando a ferramenta XPPAUT. Os parâmetros escolhidos para essa análise, o coeficiente de atrito  $b_r$  e as tensões no motor, foram selecionados devido à possibilidade de variação destes durante a operação do robô.

O impacto nos pontos de equilíbrio não é determinado isoladamente pelos valores das tensões, mas pela soma delas. Portanto, o foco dessa seção será a variação do  $V_1$  e do  $b_r$ , já que a variação de  $V_2$  gera o mesmo resultado. A Figura 2a ilustra a evolução dos pontos de equilíbrio conforme  $V_1$  aumenta para diferentes valores de  $b_r$ , enquanto a Figura 2b mostra como os pontos de equilíbrio evoluem à medida que



(a)  $\theta$  em função de  $V_1$ .



(b)  $\theta$  em função de  $b_r$ .

Figura 2. Diagramas de Bifurcação. As linhas pretas e vermelhas simbolizam respectivamente que o ponto de equilíbrio é instável ou estável.

$b_r$  aumenta para vários valores de  $V_1$ . A faixa de estudo para as tensões foi estabelecida entre  $-6V$  e  $6V$ , considerando que esses são os limites fornecidos pelo motor utilizado no sistema real.

Ao analisar os gráficos, observa-se que à medida que o valor de  $b_r$  aumenta, a região contendo os pontos de equilíbrio diminui. Esta tendência é resultado da expressão  $1 - \frac{B}{B+b_r}$  presente em (25). No entanto, existe um ponto de saturação para essa relação: quando  $b_r$  tende ao infinito,  $\theta$  converge para  $\arcsin\left(\frac{K}{e}(V_1 + V_2)\right)$ .

### C. Projeto do Controlador

Após uma análise minuciosa e entendimento do comportamento do sistema, a próxima etapa é formular uma lei de controle adequada, denotada por  $\mathbf{u}$ , para o sistema em questão. Esta seção visa detalhar o processo de criação e desenvolvimento do controlador.

O principal intuito deste projeto de controle é desenvolver uma lei que possibilite ao sistema seguir uma trajetória específica. Em outras palavras, o sistema deve ser capaz de rastrear referências para os ângulos das rodas. Contudo, dada a natureza intrinsecamente instável do sistema, o controle também deve assegurar a estabilidade do ângulo  $\theta$ , buscando

minimizar ao máximo suas variações. Com esse objetivo em vista, optou-se pelo uso da técnica de linearização por realimentação, o que viabiliza o desacoplamento do sistema e sua análise em partes separadas. É relevante mencionar, no entanto, que devido à subatuação do sistema, apenas uma linearização parcial é praticável.

Primeiramente, realizou-se uma mudança de variáveis, uma vez que, na configuração atual do sistema, não é possível realizar o seu desacoplamento por meio da linearização por realimentação, isto é devido ao ângulo de inclinação  $\theta$  depender de ambas as velocidades angulares  $\dot{\varphi}_{ri}$ . As novas variáveis definidas foram:

$$\varphi_{r1} = \varphi_r - \varphi_{rm} \quad (26)$$

$$\varphi_{r2} = \varphi_r + \varphi_{rm} \quad (27)$$

Esta transformação de variáveis conduziu a um novo espaço de estados representado por:

$$\dot{\mathbf{x}}_n = \begin{bmatrix} \mathbf{0} & \mathbf{I} \\ \mathbf{0} & \mathbf{0} \end{bmatrix} \mathbf{x}_n + \begin{bmatrix} \mathbf{0} & \mathbf{0} \\ \mathbf{0} & \mathbf{\Omega}_n(\mathbf{x}_n) \end{bmatrix} + \begin{bmatrix} \mathbf{0} \\ \mathbf{\Psi}_n(\mathbf{x}_n) \end{bmatrix} \mathbf{u} \quad (28)$$

Onde:

$$\mathbf{x}_n = [\varphi_r \quad \varphi_{rm} \quad \theta \quad \dot{\varphi}_r \quad \dot{\varphi}_{rm} \quad \dot{\theta}]^T$$

$$\mathbf{\Omega}_n(\mathbf{x}) = -\mathbf{\Delta}_n^{-1} \mathbf{A}_n$$

$$\mathbf{\Psi}_n(\mathbf{x}) = \mathbf{\Delta}_n^{-1} \mathbf{B}_u$$

$$\mathbf{u} = [V_1 \quad V_2]^T$$

$$\mathbf{\Delta}_n = \begin{bmatrix} (a+b)/2 & (b-a)/2 & d \cos(\theta) \\ (a+b)/2 & (b-a)/2 & d \cos(\theta) \\ d \cos(\theta) & 0 & c \end{bmatrix}$$

$$\mathbf{A}_n = \begin{bmatrix} (br+B)(\dot{\varphi}_r - \dot{\varphi}_{rm}) - B\dot{\theta} - d \sin(\theta)\dot{\theta}^2 \\ (br+B)(\dot{\varphi}_r + \dot{\varphi}_{rm}) - B\dot{\theta} - d \sin(\theta)\dot{\theta}^2 \\ 2B\dot{\theta} - B\dot{\varphi}_r - e \sin(\theta) \end{bmatrix}$$

Se segmentarmos o sistema em partes atuadas  $\mathbf{x}_2$  e não atuadas  $\mathbf{x}_1$ , obtemos:

$$\dot{\mathbf{x}}_1 = \mathbf{x}_2 \quad (29)$$

$$\dot{\mathbf{x}}_2 = \mathbf{\Omega}_n(\mathbf{x}) + \mathbf{\Psi}_n(\mathbf{x}) \mathbf{u} \quad (30)$$

O vetor  $\mathbf{x}_2$  engloba  $\dot{\varphi}_r$  e  $\dot{\varphi}_{rm}$ . O objetivo da linearização é que o sistema resultante seja representado por:

$$\ddot{\varphi}_r = v_1 \quad (31)$$

$$\ddot{\varphi}_{rm} = v_2 \quad (32)$$

Para atingir este objetivo, podemos decompor  $\dot{\mathbf{x}}_2$  da seguinte forma:

$$\begin{bmatrix} \ddot{\varphi}_r \\ \ddot{\varphi}_{rm} \end{bmatrix} = \mathbf{\Omega}_{n1}(\mathbf{x}) + \mathbf{\Psi}_{n1}(\mathbf{x}) \mathbf{u} \quad (33)$$

$$\ddot{\theta} = \mathbf{\Omega}_{n2}(\mathbf{x}) + \mathbf{\Psi}_{n2}(\mathbf{x}) \mathbf{u} \quad (34)$$

Onde  $\mathbf{\Omega}_{n1}$  e  $\mathbf{\Omega}_{n2}$  são submatrizes de  $\mathbf{\Omega}_n$ , e  $\mathbf{\Psi}_{n1}$  e  $\mathbf{\Psi}_{n2}$  são submatrizes de  $\mathbf{\Psi}_n$ .

Ao igualar  $[\ddot{\varphi}_r \quad \ddot{\varphi}_{rm}]^T$  a  $[v_1 \quad v_2]^T$ , obtemos a ação de controle linearizante para o sistema:

$$\mathbf{u} = \mathbf{\Psi}_{n1}^{-1}(\mathbf{x}) \left( \begin{bmatrix} v_1 \\ v_2 \end{bmatrix} - \mathbf{\Omega}_{n1}(\mathbf{x}) \right) \quad (35)$$

Ao implementar esta ação de controle no sistema, resultamos em dois sistemas desacoplados. O primeiro é descrito por:

$$\dot{y}_1 = \begin{bmatrix} \dot{\varphi}_r \\ \dot{\theta} \\ v_1 \\ L + Mv_1 \end{bmatrix} \quad (36)$$

Onde

$$L = \frac{2d \sin(\theta) \dot{\theta}^2 - b_r \dot{\varphi}_r + e \sin(\theta)}{c + 2d \cos(\theta)}$$

$$M = -\frac{a + b + d \cos(\theta)}{c + 2d \cos(\theta)}$$

O segundo sistema é descrito por:

$$\dot{y}_2 = \begin{bmatrix} \dot{\varphi}_{rm} \\ v_2 \end{bmatrix} \quad (37)$$

O primeiro sistema foi parcialmente linearizado, de forma que o comportamento do sistema ainda é dependente dos estados  $\theta$  e  $\theta$ . Analisando os pontos de equilíbrio, é observado um comportamento similar ao do sistema completo. Fazendo as mesmas considerações de que o ângulo da roda não influencia diretamente no sistema, obtemos um ponto de equilíbrio localizado em:

$$\bar{y}_1 = \begin{bmatrix} \varphi_r \\ \dot{\varphi}_r \\ \arcsin(b_r \dot{\varphi}_r) \\ 0 \end{bmatrix} \quad (38)$$

Sendo que todos os pontos de equilíbrio com  $-\pi/2 < \theta < \pi/2$  são instáveis. Portanto, ainda é necessário projetar outra forma de controle para estabilizar o sistema. No entanto, observe que a linearização por realimentação reduz significativamente a complexidade do sistema, e que o segundo sistema está completamente desacoplado.

Para projetar o controlador, o sistema é linearizado no ponto de equilíbrio  $\bar{y}_1 = [0, 0, 0, 0]^T$ , pois o objetivo é fazer com que o robô siga uma trajetória de um ponto a outro, mantendo o ângulo  $\theta$  com a mínima variação possível. O sistema resultante é:

$$\dot{y}_1 = A_1 y_1 + B_1 v_1 \quad (39)$$

$$A_2 = \begin{bmatrix} 0 & 0 & 1 & 0 \\ 0 & 0 & 0 & 1 \\ 0 & 0 & 0 & 0 \\ 0 & \frac{e}{c+2d} & -\frac{b_r}{c+2d} & 0 \end{bmatrix} \quad (40)$$

$$B_2 = \begin{bmatrix} 0 \\ 0 \\ 1 \\ -\frac{a+b+d}{c+2d} \end{bmatrix} \quad (41)$$

Devido à ausência de um integrador no sistema, ele apresentará erro em estado permanente para o ângulo  $\varphi_m$ . Para corrigir isso, um integrador é incluído no sistema:

$$\dot{\zeta}_1 = (\text{ref}_1 - \varphi_r). \quad (42)$$

A lei de controle  $v_1$  foi então definida como:

$$v_1 = K_{c1} \begin{bmatrix} \text{ref}_1 - \varphi_r \\ -\theta \\ \text{ref}_1 - \dot{\varphi}_r \\ -\dot{\theta} \\ \zeta_1 \end{bmatrix} \quad (43)$$

A determinação do ganho  $K_{c1}$  foi realizada utilizando a técnica ótima do regulador quadrático linear, definindo as matrizes  $Q$  e  $R$  como:

$$Q = \text{diag}(100, 0, 0, 0, 10) \quad (44)$$

$$R = 0.001. \quad (45)$$

O objetivo foi dar máxima prioridade ao controle do posicionamento do robô, buscando uma resposta rápida que mantenha o sistema estável.

Para o segundo sistema, o controle foi estabelecido através da dinâmica do erro. A dinâmica do erro é dada por:

$$\ddot{e}_2 = A_2 e_2 + B_2 (\ddot{\text{ref}}_2 - v_2) \quad (46)$$

Onde:

$$A_2 = \begin{bmatrix} 0 & 1 \\ 0 & 0 \end{bmatrix} \quad B_2 = \begin{bmatrix} 0 \\ 1 \end{bmatrix}$$

$$e_2 = [\text{ref}_2 - \varphi_{rm} \quad \dot{\text{ref}}_2 - \dot{\varphi}_{rm}]^T$$

Mais uma vez, para assegurar um erro nulo em regime permanente, um integrador foi acrescentado. Isso resultou na seguinte lei de controle:

$$v_2 = \ddot{\text{ref}}_2 + K_{c2} \begin{bmatrix} e_2 \\ \zeta_2 \end{bmatrix} \quad (47)$$

A determinação do ganho  $K_{c2}$  foi realizada também empregando o regulador quadrático linear. As matrizes  $Q$  e  $R$  foram definidas da seguinte forma:

$$Q = \text{diag}(10, 0, 10) \quad (48)$$

$$R = 0.001 \quad (49)$$

O foco principal, mais uma vez, foi assegurar um desempenho otimizado para o erro de posicionamento em relação à referência

Com o controlador agora estabelecido e definido, a próxima seção se dedica a apresentar e discutir os resultados obtidos quando este controle é aplicado ao sistema para buscando o seguimento de trajetória, oferecendo uma visão concreta de sua eficácia.

### III. RESULTADOS

Nesta seção, serão apresentados e discutidos os resultados obtidos com a aplicação dos controladores desenvolvidos no sistema em estudo. O foco está no desempenho do sistema em seguir trajetórias específicas de um ponto a outro no plano  $x - y$ .

Para realizar o seguimento de trajetória é crucial compreender as equações de cinemática inversa associadas ao robô de

duas rodas. As relações entre as posições  $x$  e  $y$ , o ângulo de guinada  $\alpha$ , e os estados do sistema são dados por:

$$\dot{x} = \frac{r \cos(\theta) \dot{\varphi}_r}{2} \quad (50)$$

$$\dot{y} = \frac{r \sin(\theta) \dot{\varphi}_r}{2} \quad (51)$$

$$\dot{\alpha} = \frac{r \dot{\varphi}_r m}{2R} \quad (52)$$

Através delas é possível derivar as equações para a cinemática inversa:

$$\dot{\varphi}_r = \frac{2\dot{x}}{r \cos(\theta)} = \frac{2\dot{y}}{r \sin(\theta)} \quad (53)$$

$$\dot{\varphi}_r m = \frac{2R\dot{\alpha}}{r} \quad (54)$$

É importante notar que quando  $\sin(\theta) = 0$ , a equação em função de  $\dot{y}$  não pode ser aplicada. Similarmente, para  $\cos(\theta) = 0$ , a equação em função de  $\dot{x}$  é inválida. Utilizando a cinemática inversa é possível, mediante uma dada trajetória no eixo  $x-y$ , determinar a referência para os estados do sistema. Para o rastreamento da trajetória entre dois pontos foi utilizado a representação por um polinômio de terceiro grau:

$$x_{ref} = x_0 + \frac{3}{t_f^2}(x_f - x_0)t^2 - \frac{2}{t_f^3}(x_f - x_0)t^3 \quad (55)$$

Onde  $x_{ref}$  representa a referência,  $x_0$  o ponto inicial,  $x_f$  o ponto final, e  $t_f$  o tempo de deslocamento. Cada referencial de posição ( $x, y$  e  $\alpha$ ) são representados por um polinômio neste formato.

Utilizando o Simulink foi desenvolvido uma simulação compreensiva do sistema. Essa simulação engloba a planta não linear, um gerador de trajetória, o cálculo das ações de controle  $v_1$  e  $v_2$ , e da realimentação linearizante.

Na validação do controlador proposto, duas trajetórias paradigmáticas foram escolhidas: uma em formato de quadrado e outra em formato circular. A escolha dessas trajetórias se dá pela sua capacidade de, conjuntamente, testar diversas facetas do desempenho do robô e do controlador em situações distintas.

Estas trajetórias foram geradas através do polinômio de terceiro grau mencionado anteriormente. Em cada caso, foram definidos pontos-chave para guiar o robô através da trajetória desejada, aproveitando o gerador de trajetória desenvolvido no Simulink.

#### A. Trajetória em Formato de Quadrado

A Figura 3 apresenta uma comparação entre a trajetória de referência, que era esperada, e a trajetória efetivamente obtida durante a simulação. Fica claro que existem pequenas variações durante o trajeto, entretanto o robô consegue seguir a referência e chegar até o ponto desejado.

A Figura 4 se concentra nos estados do sistema. Através dela, pode-se observar que o estado desacoplado durante a

linearização por realimentação apresenta erro praticamente nulo durante toda a trajetória, enquanto o restante apresenta pequenas variações, mas alcançam a referência de forma satisfatória com pequenas variações no ângulo  $\theta$ .

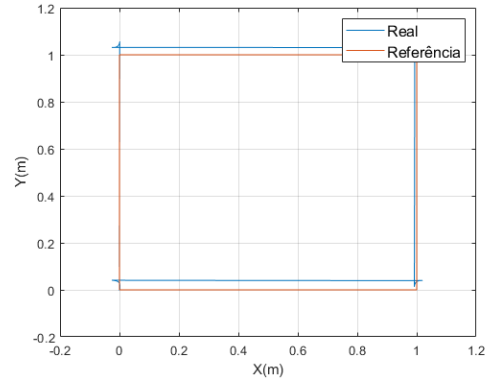


Figura 3. Comparação entre a trajetória de referência e o resultado da simulação para o formato quadrado.

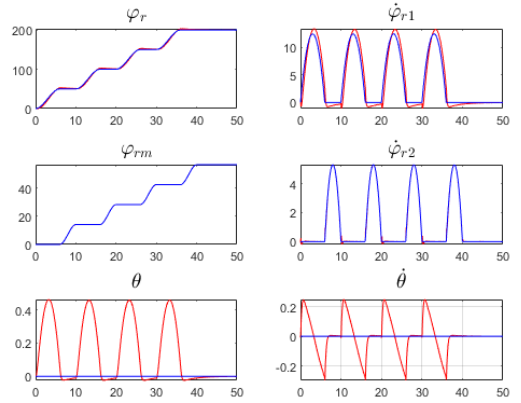


Figura 4. Estados do sistema para a trajetória em quadrado. Onde as linhas azuis e vermelhas simbolizam o resultado simulado e a referência.

#### B. Trajetória em Formato de Círculo

A Figura 5 compara a trajetória de referência com a trajetória efetivamente obtida durante a simulação para o círculo. Perceba que como o seguimento é feito de ponto a ponto, a referência tem um formato de hexágono que acaba resultando em um círculo.

A Figura 6 se aprofunda na análise dos estados do sistema. Nela, observa-se a evolução dos estados do robô ao longo da sua movimentação circular, e a comparação destes com suas respectivas referências dá uma visão clara sobre a eficiência do controlador, reafirmando os resultados obtidos com a trajetória quadrada.

### IV. CONCLUSÃO

Ao longo deste estudo, foi realizada uma análise profunda da modelagem, controle e simulação de um robô autoequilibrado de duas rodas, ilustrando a importância da precisão em

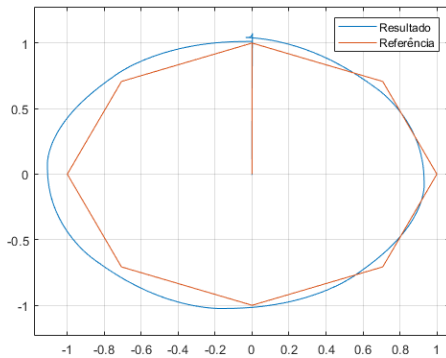


Figura 5. Comparação entre a trajetória de referência e o resultado da simulação para o formato circular.

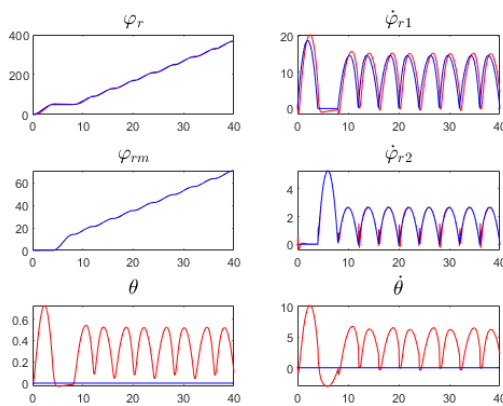


Figura 6. Estados do sistema para a trajetória em círculo. Onde as linhas azuis e vermelhas simbolizam o resultado simulado e a referência.

cada etapa do processo. O controle realimentado linearizante demonstrou ser uma abordagem eficaz na estabilização do sistema e no seguimento de trajetórias predeterminadas, mesmo em situações de complexidade, como trajetórias em formas de quadrado e círculo.

A modelagem inicial, que contou com parâmetros físicos extraídos de um modelo real, estabeleceu uma base sólida para o desenvolvimento subsequente. As trajetórias de referência, alinhadas com as equações de cinemática inversa, forneceram um roteiro para o deslocamento desejado do robô. Os resultados das simulações, ao serem comparados com as trajetórias de referência, evidenciaram o desempenho do controle implementado.

No entanto, é importante destacar que, embora os resultados tenham sido promissores, sistemas reais podem apresentar variações devido a ruídos, desgastes e outras perturbações não consideradas neste estudo. Portanto, testes em um ambiente real e ajustes contínuos do controlador podem ser necessários para otimizar ainda mais o desempenho do robô.

Concluindo, este estudo representa um passo significativo na compreensão e controle de robôs de duas rodas. A abordagem

adotada pode servir como um modelo para futuras investigações e implementações em sistemas robóticos similares.

## REFERÊNCIAS

- [1] B. Friedland, *Control system design: an introduction to state-space methods*. New York: Courier Corporation, 2012.
- [2] G.F. Franklin et al, *Feedback control of dynamic systems*, 7th ed. Harlow: Pearson Education Limited, 2015.
- [3] N.S. Nise, *Control systems engineering*, 7th ed. Pomona: John Wiley & Sons, 2015.
- [4] R.C. Bishop and R.H. Dorf, *Modern control systems*, 14th ed. Harlow: Pearson Education Limited, 2022.
- [5] K. Ogata, *Modern Control Engineering*, 5th ed. Upper Saddle River: Prentice Hall, 2010.
- [6] L. D. R. Arantes and J. C. B. Dalcin, "Implementação de controle de realimentação de estados ótimo com observador de ordem mínima em um robô auto-equilibrado," B.S. Thesis, Instituto Federal Catarinense, São Bento do Sul, Brazil, 2022. [https://pergamumweb.ifc.edu.br/pergamumweb\\_ifc/vinculos/000026/00002628.pdf](https://pergamumweb.ifc.edu.br/pergamumweb_ifc/vinculos/000026/00002628.pdf). (Accessed: Jun. 20, 2023).
- [7] I. Gandarilla, J. Montoya-Cháirez, V. Santibáñez, C. Aguilar-Avelar, and J. Moreno-Valenzuela, "Trajectory tracking control of a self-balancing robot via adaptive neural networks," *Engineering Science and Technology, an International Journal*, vol. 35, pp. 101259, 2022.
- [8] R. C. Ooi, "Balancing a two-wheeled autonomous robot," B.S. Thesis, Faculty of Eng. & Math. Sciences, Univ. of Western Australia, Perth, Nedlands, 2003.
- [9] K. Peng, X. Ruan, and G. Zuo, "Dynamic model and balancing control for two-wheeled self-balancing mobile robot on the slopes," in *Proceedings of the 10th World Congress on Intelligent Control and Automation*, 2012, pp. 3681-3685.
- [10] H. -S. Juang and K. -Y. Lum, "Design and control of a two-wheel self-balancing robot using the arduino microcontroller board," *2013 10th IEEE International Conference on Control and Automation (ICCA)*, Hangzhou, China, 2013, pp. 634-639, doi: 10.1109/ICCA.2013.6565146.
- [11] A. Wasif, D. Raza, W. Rasheed, Z. Farooq and S. Q. Ali, "Design and implementation of a two wheel self balancing robot with a two level adaptive control," *Eighth International Conference on Digital Information Management (ICDIM 2013)*, Islamabad, Pakistan, 2013, pp. 187-193, doi: 10.1109/ICDIM.2013.6694021.